

论著 · 基础研究 doi:10.3969/j.issn.1671-8348.2016.34.002

# 大鼠 Hes1 腺病毒干扰载体构建及功能鉴定\*

周学亮,方义湖<sup>#</sup>,赵勇,邹斌,徐华,吴起才,刘季春<sup>△</sup>  
(南昌大学第一附属医院心脏大血管外科,南昌 330006)

**[摘要]** 目的 构建高滴度大鼠 Hes1 腺病毒干扰载体(Ad-Hes1-shRNA)。方法 设计 3 对 Hes1-shRNA 寡核苷酸序列,通过定向克隆构建 pHBAd-U6-CMV-Hes1-shRNA 干扰质粒,将 pHBAd-U6-CMV-Hes1-shRNA 和 pHBAd-BHG 共转染 293T 细胞,以包装 Ad-Hes1-shRNA,利用改进 TCID50 法进行病毒滴度测定。Ad-Hes1 感染 H9c2 心肌细胞,Western blot 检测 Hes1 表达。结果 pHBAd-U6-CMV-Hes1-shRNA 构建成功,Ad-Hes1-shRNA 包装顺利,滴度为  $1.0 \times 10^{11}$  PFU/mL,并可在 H9c2 心肌细胞内发挥干扰效应。结论 Ad-Hes1-shRNA 包装成功,在心肌细胞中具有 Hes1 的干扰效应。

**[关键词]** 腺病毒科;RNA 干扰;寡核苷酸序列分析;Hes1;质粒构建;病毒包装

[中图分类号] R654.2

[文献标识码] A

[文章编号] 1671-8348(2016)34-4757-03

## Construction and functional identification of rat Hes1 adenovirus interference vector\*

Zhou Xueliang, Fang Yihu<sup>#</sup>, Zhao Yong, Zou Bin, Xu Hua, Wu Qicai, Liu Jichun<sup>△</sup>

(Department of Cardiovascular Surgery, The First Affiliated Hospital of

Nanchang University, Nanchang, Jiangxi 330006, China)

**[Abstract]** **Objective** To construct the high titers rat Hes1 adenovirus interference vector (Ad-Hes1-shRNA). **Methods** 3 pairs of Hes1-shRNA oligonucleotide sequences were synthesized to construct the pHBAd-U6-CMV-Hes1-shRNA interference plasmid by directly clone. pHBAd-U6-CMV-Hes1-shRNA and pHBAd-BHG plasmids were co-transfected into 293 cells to Ad-Hes1-shRNA, virus titer are determined by modified TCID50. Hes1 was detected by Western blot after Ad-Hes1-shRNA infected with H9c2 myocardial cells. **Results** pHBAd-U6-CMV-Hes1-shRNA was constructed successfully, Ad-Hes1-shRNA packaging smoothly with  $1.0 \times 10^{11}$  PFU/mL titer, which can play the interference effect in the H9c2 myocardial cells. **Conclusion** The Ad-Hes1-shRNA is successfully packaged and has the interference effect of Hes1 in myocardial cells.

**[Key words]** adenoviridae; RNA interference; oligonucleotide array sequence analysis; Hes1; plasmid construction; virus packaging

发状分裂相关增强子-1(hairy and enhancer of split 1, Hes1)作为经典的抑制型碱性螺旋-环-螺旋(basic helix loop helix, bHLH)基因,激活后可有效拮抗激活型 bHLH 基因的表达水平<sup>[1]</sup>;同时作为 Notch 信号通路靶基因,在减轻心肌缺血再灌注损伤中发挥了重要调节作用<sup>[2]</sup>。本研究拟采用腺病毒载体系统,通过设计针对大鼠 Hes1 基因干扰序列,构建 Hes1 腺病毒干扰载体(Ad-Hes1-shRNA),并感染 H9c2 心肌细胞,筛选干扰大鼠 Hes1 基因最佳的 Ad-Hes1-shRNA,为进一步观察 Hes1 信号通路在心肌细胞的作用奠定实验基础。

## 1 材料与方法

### 1.1 材料

**1.1.1** 细胞及菌株 293T 细胞购于中科院上海生命科学院细胞库,DH5 $\alpha$  超级化学感受态细胞购于 Invitrogen 公司。

**1.1.2** 大鼠 cDNA 文库及腺病毒载体系统 大鼠 cDNA 文库来购于大连 TaKaRa 公司;pHBAd-U6-CMV 载体、pHBAd-BHG 骨架质粒购于汉恒生物科技有限公司。

**1.1.3** 主要试剂 限制性内切酶(BamH I、EcoR I)购于 New England Biolabs 公司,T4 DNA Ligase 购于 Fermentas 公司,质粒小/中量提取纯化试剂盒、DNA 纯化试剂盒、DNA 凝胶回收与纯化试剂盒购于康为世纪有限公司,Lipofiter<sup>TM</sup> 购于

为汉恒生物科技有限公司,细胞裂解液购于碧云天生物技术研究所,Hes1 单克隆鼠抗购于 Abcam 公司, $\beta$ -actin 单克隆鼠抗购于 Anbo 公司,HRP 标记的羊抗兔 IgG 购于北京中杉金桥生物技术有限公司,增强化学发光底物购于 Pierce Biotechnology 公司。

**1.1.4** 引物设计与合成 针对大鼠 Hes1 基因,设计 3 对 Hes1-shRNA 寡核苷酸序列(Hes1-1: 5'-CCG GGC AAG AAT AAA TGA AAG TTT G-3'; N1ICD-shRNA-2: 5'-CAG ACA TTC TGG AAA TGA CAG TGA A-3'; N1ICD-shRNA-3: 5'-CCT CTG AGC ACA GAA AGT CAT CAA A-3'),分别插入 BamH I 与 EcoR I 酶切位点,交上海桑尼生物技术有限公司合成 3 对寡核苷酸,规格为 2A。

### 1.2 方法

**1.2.1** pHBAd-U6-CMV-Hes1-shRNA 干扰质粒构建及筛选 将 3 对寡核苷酸退火形成双链,T4 DNA Ligase 连接 BamH I 与 EcoR I 双酶切后的双链 Oligonucleotide、pHBAd-U6-CMV。将 3 组连接产物转化 DH5 $\alpha$  化学感受态细胞,接种于 Amp<sup>+</sup>(氨苄西林)的 LB 培养基平板,次日随机挑选阳性单克隆菌落,摇菌过夜,菌液送上海桑尼生物技术有限公司基因测序,序列无误后分别命名为 pHBAd-U6-CMV-Hes1-shRNA-

\* 基金项目:国家自然科学基金资助项目(81570262);赣鄱 555 领军人才计划(赣组字[2013]58 号);江西省自然科学基金重大项目(20152ACB20026)。作者简介:周学亮(1980—),副主任医师,博士,主要从事心肌疾病的信号通路研究。# 共同第一作者:方义湖(1971—),教授,博士,主要从事心脏病理方面研究。△ 通讯作者,E-mail:liujichun999@163.com。

1、pHBAd-U6-CMV-Hes1-shRNA-2、pHBAd-U6-CMV-Hes1-shRNA-3。

**1.2.2 Ad-Hes1-shRNA 包装、收毒、扩增及滴度测定** 将 pHBAd-U6-CMV-Hes1-shRNA 2  $\mu$ g、pHBAd-BHG 4  $\mu$ g 共转染 293 细胞, 6 h 后更换新鲜细胞培养液。每天观察细胞出毒迹象, 出毒完毕后收集所有细胞及培养液, 于 -80 ℃ 和 37 ℃ 间冻融 3 次, 3 000 r/min 离心 5 min, 上清液即为 Ad-Hes1 第一代毒种(P1), 作为毒种 -80 ℃ 保存。取 P1 代毒种感染 293 细胞, 待所有细胞脱落底面开始收毒, 2 000 r/min 离心 5 min, 弃上清液, 加入 1 mL ST buffer(培养液 +10% 血清 +2.5% 甘油), Vortex 混匀, 于 -80 ℃ 和 37 ℃ 间冻融 3 次, 3 000 r/min 离心 5 min, 取上清液(P2) -80 ℃ 保存。依前法利用 P2 代病毒大量扩增病毒, 纯化后利用改良 TCID<sub>50</sub> 法行病毒滴度测定。

**1.2.3 Ad-Hes1-shRNA 功能鉴定** H9c2 细胞传代 10<sup>7</sup> 至 6

孔板, 每孔分别加入约 Ad-NC、Ad-Hes1-shRNA-1、Ad-Hes1-shRNA-2、Ad-Hes1-shRNA-3, 4 h 更换培养液, 36 h 后收集细胞蛋白, Western blot 检测 Hes1 表达。

## 2 结 果

**2.1 pHBAd-U6-CMV-Hes1-shRNA 干扰质粒成功构建** DNAMAN 比对分析 pHBAd-U6-CMV-Hes1-shRNA 阳性转化子菌液基因测序结果, 与 Hes1-shRNA 基因序列完全一致(图 1)。

**2.2 Ad-Hes1-shRNA 包装、收毒、扩增及滴度测定** HBAd-U6-CMV-Hes1-shRNA、pHBAd-BHG 共转 293 细胞后, 每天显微镜下观察细胞出毒迹象, 出毒现象为细胞变大变圆, 呈葡萄状, 并开始出现明显噬斑, 待细胞大部分病变并从底部脱落进行收毒, 待细胞大部分病变并从底部脱落进行收毒(图 2)。利用改进 TCID<sub>50</sub> 法测定 Ad-Hes1-shRNA 滴度, 结果为 1.0 × 10<sup>11</sup> PFU/mL, 体积 1 mL, 总滴度为 1.0 × 10<sup>11</sup> PFU。

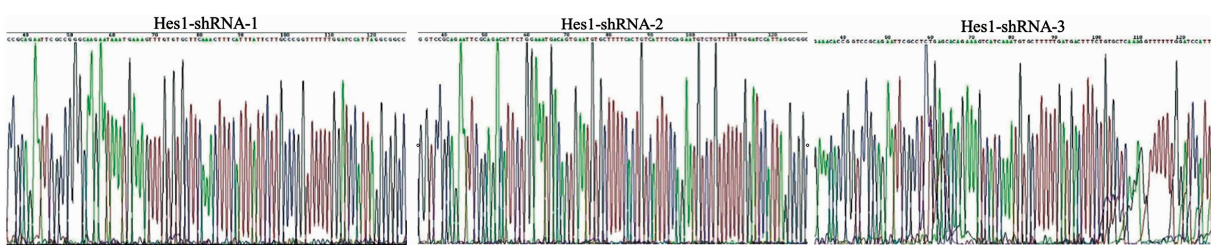


图 1 Hes1-shRNA 基因测序图

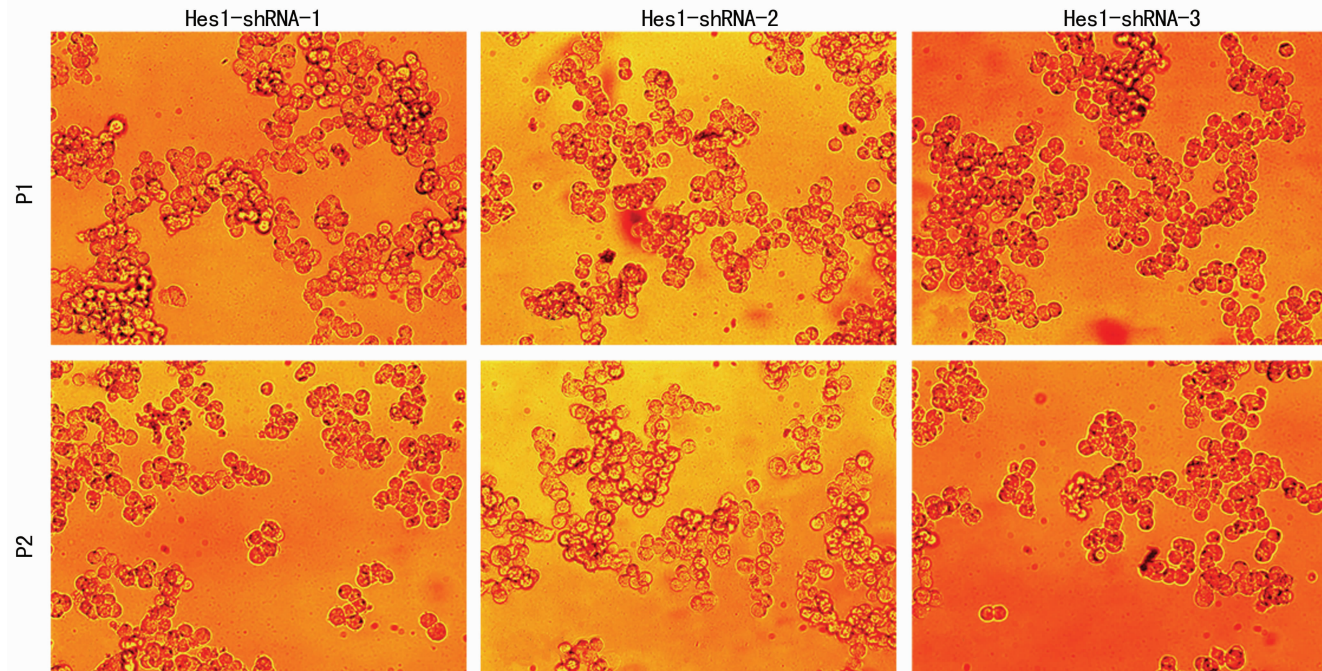
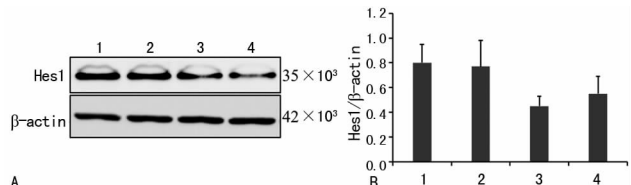


图 2 显微镜下 Ad-Hes1-shRNA 细胞出毒情况( $\times 20$ )



A: Hes1 蛋白 Western blot; B: Hes1 蛋白灰度值。1:模拟感染组; 2: Ad-Hes1-shRNA-1; 3: Ad-Hes1-shRNA-2; 4: Ad-Hes1-shRNA-3。

图 3 Ad-Hes1-shRNA 在 H9c2 心肌细胞内的干扰效应

**2.3 Ad-Hes1 功能鉴定** 构建成功的 Ad-Hes1-shRNA 干扰质粒转染 293T 细胞, 48 h 后提总蛋白, Western blot 显示 Ad-Hes1-shRNA-2、Ad-Hes1-shRNA-3 均可达到满意的干扰效果, 以 Ad-Hes1-shRNA-2 干扰效果最强, 见图 3。

## 3 讨 论

Hes1 的功能研究目前大多集中在神经发育、体节形成、骨骼发育、T 淋巴细胞发育等四个方面<sup>[3]</sup>。最近研究证明 Hes1 在心脏发育中具有重要调节作用, 积极影响心室流出道的发育

成熟<sup>[4]</sup>。Bhoopathi 等<sup>[5]</sup>发现 Hes1 基因表达可以显著促进内源性 Stat3 的酪氨酸磷酸化水平,并且在表皮生长因子诱导下,Hes1 基因的表达使得 Stat3 更易转运进入细胞核,增加 DNA 与 Stat3 的结合活性。在作者前期研究中,同样发现作为 Notch1 信号通路靶基因,Hes1 通过类似途径促进 Stat3 磷酸化,从而激活 SAFE 信号通路,发挥强大的心肌保护作用。Hes1 无特异性抑制剂,特异性抑制 Hes1 并非易事,因此利用 RNAi 技术,针对特定 Hes1 蛋白构建相应干扰载体,可达到特异性抑制 Hes1 的作用。

RNA 干扰技术是一种由内源性或者外源性双链 DNA 介导的转录后水平的基因沉默技术<sup>[6-7]</sup>。短发卡 RNA (short-hairpin RNA, shRNA) 是根据 siRNA 设计的类似双链结构的 RNA,相比于 siRNA,其在随载体进入细胞时具有更高的内在稳定性,并且 shRNA 在细胞内可以由单个模板快速合成大量的 shRNA,其沉默作用更加持久<sup>[8]</sup>。目前,用于目的基因转移的病毒载体主要包括腺病毒、腺相关病毒、反转录病毒和慢病毒载体<sup>[9]</sup>。与其他基因载体系统相比,腺病毒载体具有宿主范围广、可感染静止及分裂期细胞、感染率高,靶细胞内多拷贝高效表达,理化性质稳定,遗传毒性较低,包装容量大及不整合等优点,已在基因载体领域应用广泛<sup>[10]</sup>。因考虑后期研究涉及细胞及动物实验,对病毒感染效率要求高,因此作者采用腺病毒载体系统构建 Hes1 干扰载体。

在 Ad-Hes1-shRNA 构建过程中,作者先用合成 3 对 Hes1-shRNA 的寡核苷酸,退火形成双链后利用定向克隆技术,构建 HBAAd-U6-CMV-Hes1-shRNA,再与 pHBAd-BHG 共转染 293T 细胞进行病毒包装,细胞出毒后收集第一代(P1)毒液,并以此为毒种进行第二代(P2)出毒及大量病毒扩增,病毒滴度测定后,再感染 H9c2 心肌细胞,以筛选干扰效果最佳的 Ad-Hes1-shRNA,从而为 Hes1 对缺血心肌细胞保护作用的机制研究奠定了实验基础。

## 参考文献

- [1] Tian C, Tang YJ, Wang TT, et al. HES1 is an Independent prognostic factor for acute myeloid leukemia[J]. Oncology, 2012, 32(4): 281-285.
  - [2] Zhou XL, Wan L, Xu QR, et al. Notch signaling activation contributes to cardioprotection provided by ischemic preconditioning and postconditioning [J]. J Transl Med, 2013, 11(1): 251.
  - [3] Liu ZH, Dai XM, Du B. Hes1: a key role in stemness, metastasis and multidrug resistance[J]. Cancer Biol Ther, 2015, 16(3): 353-359.
  - [4] Rochais F, Dandonneau M, Mesbah K, et al. Hes1 is expressed in the second heart field and is required for outflow tract development[J]. PLoS One, 2009, 4(7): e6267.
  - [5] Bhoopathi P, Chetty C, Dontula RA, et al. SPARC stimulates neuronal differentiation of medulloblastoma cells via the notch1/STAT3 pathway[J]. Cancer Res, 2011, 71(14): 4908-4919.
  - [6] Sarisoren C, Salzano G, Torchilin VP. Recent advances in siRNA delivery[J]. Biomol Concepts, 2015, 6(4): 321-341.
  - [7] Karlsson C, Rak J, Larsson J. RNA interference screening to detect targetable molecules in hematopoietic stem cells [J]. Curr Opin Hematol, 2014, 21(4): 283-288.
  - [8] Tan PH, Yu SW, Lin VC, et al. RNA interference-mediated gene silence of the NR1 subunit of the NMDA receptor by subcutaneous injection of vector-encoding short hairpin RNA reduces formalin-induced nociception in the rat[J]. Pain, 2011, 152(3): 573-581.
  - [9] Liu YP, Berkout B. miRNA cassettes in viral vectors: problems and solutions[J]. Biochim Biophys Acta, 2011, 1809(11/12): 732-745.
  - [10] Janssen JM, Liu J, Skokan J, et al. Development of an AdEasy-based system to produce first- and second-generation adenoviral vectors with tropism for CAR- or CD46-positive cells[J]. J Gene Med, 2013, 15(1): 1-11.
- (上接第 4756 页)
- 2007, 133(2): 647-658.
- [13] Kolasa IK, Rembiszewska A, Janiec-Jankowska A, et al. PTEN mutation expression and LOH at its locus in ovarian carcinomas[J]. Relation to TP53, K-RAS and BRCA1 mutations. Gynecol Oncol, 2006, 103(2): 692-697.
  - [14] Zhu L, Loo WT, Louis WC. PTEN and VEGF: possible predictors for sentinel lymph node micro-metastasis in breast cancer[J]. Biomed Pharmacother, 2007, 61(9): 558-561.
  - [15] Schmitz M, Grignard G, Margue C, et al. Complete loss of PTEN expression as a possible early prognostic marker for prostate cancer metastasis[J]. Int J Cancer, 2007, 120(6): 1284-1292.
  - [16] Liang Z, Li Y, Huang K, et al. Regulation of miR-19 to breast cancer chemoresistance through targeting PTEN [J]. Pharm Res, 2011, 28(12): 3091-3100.
  - [17] Meng F, Henson R, Wehbe-Janek H, et al. MicroRNA-21 regulates expression of the PTEN tumor suppressor gene in human hepatocellular cancer [J]. Gastroenterology, Targets Ther, 2015, 8(10): 899-904.
  - [18] Huse JT, Brennan C, Hambardzumyan D, et al. The PTEN-regulating microRNA miR-26a is amplified in high-grade glioma and facilitates gliomagenesis in vivo[J]. Genes Dev, 2009, 23(11): 1327-1337.
  - [19] Yang H, Kong W, He L, et al. MicroRNA expression profiling in human ovarian cancer: miR-214 induces cell survival and cisplatin resistance by targeting PTEN [J]. Cancer Res, 2008, 68(2): 425-433.
  - [20] 黄秀兰, 崔国辉, 周克元. PI3K-Akt 信号通路与肿瘤细胞凋亡关系的研究进展[J]. 癌症, 2008, 27(3): 331-336.
  - [21] Wu H, Goel V, Haluska FG. PTEN signaling pathways in melanoma[J]. Oncogene, 2003, 22(20): 3113-3122.
  - [22] Maehama T, Dixon JE. The tumor suppressor, PTEN/MMAC1, dephosphorylates the lipid second messenger, phosphatidylinositol 3, 4, 5-trisphosphate [J]. J Biol Chem, 1998, 273(22): 13375-13378.

(收稿日期:2016-07-20 修回日期:2016-09-08)

(收稿日期:2016-07-18 修回日期:2016-09-06)